手算与有限元分析结合在钢便桥验算中的运用

蓝伟锋

(中铁港航东南海洋工程有限公司, 福建 福州 350026)

摘 要:某高桩码头工程施工临时通行需要,拟在海上架设一座钢便桥。为提升验算效率及可靠性、钢便桥的上部结构 采用 Midas Civil 软件进行分析, 桩基则利用软件分析所得数据进行手算。常规手算与具备更大自由度和强大的分析能 力的 Midas Civil 有限元数值分析软件结合,可提升施工企业生产效率、经济效益和竞争力。文章可为类似临时结构验 算提供借鉴。

关键词: Midas Civil; 有限元分析; 钢便桥; 桩基手算

中图分类号: U446 文献标识码: A 文章编号: 1006-7973 (2022) 08-0052-04

1 工程概况

1.1 平面布置

钢便桥长 252m、宽 6m。

1.2 结构形式

钢便桥跨径 12m, 每排设 2根 ϕ 630×10mm 钢管 桩作基础, 间距 4.4m; 桩顶开槽, 安装双拼 I40b 工字

钢横梁,横梁上设3组双排单层321型贝雷片纵梁, 贝雷片间距 0.9m, 组距 1.35m。纵梁上设 I25b 工字钢 横向分配梁,间距0.795m、0.705m。横向分配梁上设 I12.6 工字钢纵向分配梁, 间距 0.3m。I12.6 纵向分配梁 上设 δ 10mm 防滑钢板做为桥面板。钢管桩横向支撑采 用[25槽钢。如图1、图2所示。

了约 16m、21m 和 26m。

- (2)码头设计低水位考虑梨园电站15年泥砂淤积 水平, 计算三个时段坝前最低运行水位 + 龙盘水库投入 后梨园水电站各时段最小入库流量的水面线, 取其下包 络线为沿程各码头的设计低水位。考虑梨园库区码头建 设是否提供夜间通航两种不同工况,两种工况下,梨园 上游翻坝码头的设计低水位均为 1605m; 考虑夜间通航 时,大具码头的设计低水位为1605.89m,考虑夜间不 通航时,大具码头的设计低水位为 1606.52m。
- (3)码头设计高水位的确定,考虑泥砂20年、 30年两种淤积水平, 计算水库蓄水运行后 P=33.3% (Qm=5800m3/s), P=20% (Qm=6580m3/s), P=10%(Qm=7540m3/s)、P=5%(Qm=8440m3/s)的频率洪水 回水。20年泥沙淤积水平 P=33.3%、P=20%、P=10%、 P=5% 回水位别为1625.90m、1626.90m、1627.77m、 1628.73m。梨园上游翻坝码头 20 年泥砂淤积上述频率 的回水位为 1618m。

参考文献:

[1] 胡标兵. 叙渝段典型卵石急流滩整治技术研究 [D]. 重庆: 重庆交通大学, 2009.

- [2] 刘建民, 刘俊涛. 沙卵石浅滩整治水位及整治线宽度 确定方法的研究[]]. 水道港口, 2014, 25: 19-25.
- [3] 王涵. 山区河流深槽卵砾石起动规律研究 [D]. 重庆: 重庆交通大学,2016.
- [4] T Saville. Laboratory data on wave run up and over topping[M]. Lake Okeechobee Levee Sections, U S Army, Corps of Engineers, Beach Erosion Board, Washington, DC, 1955.
- [5] 方昭昭,朱仁传,缪国平.数值波浪水池中航行船舶 辐射问题的数值模拟[]]. 水动力学研究与进展, 2011, 26(1)
- [6] Koutitas Christopher G. Elements of computational hydraulics [M]. New York: London Pentech Press, 2016.
- [7] 窦国仁. 丁坝回流及其相似律的研究 []]. 水利水运科 技情报, 1978, (3): 1~24.
- [8] 长江重庆航道工程局勘察设计所. 长江重庆至宜宾河 段滩险整治情况资料集(1953~2012)[R]. 重庆: 长江重庆航 道工程局勘察设计所, 2013.
- [9] Einstein H A. The bed load function for sediment transportation in open channel flows [R]. In: U. S. Dept. Agri. Tech. Bull. 1950.
- [10] 杨胜发, 周华君, 胡江. 内流河宽浅变迁河段水沙 运动规律研究 [M]. 重庆: 重庆大学出版社,2009.

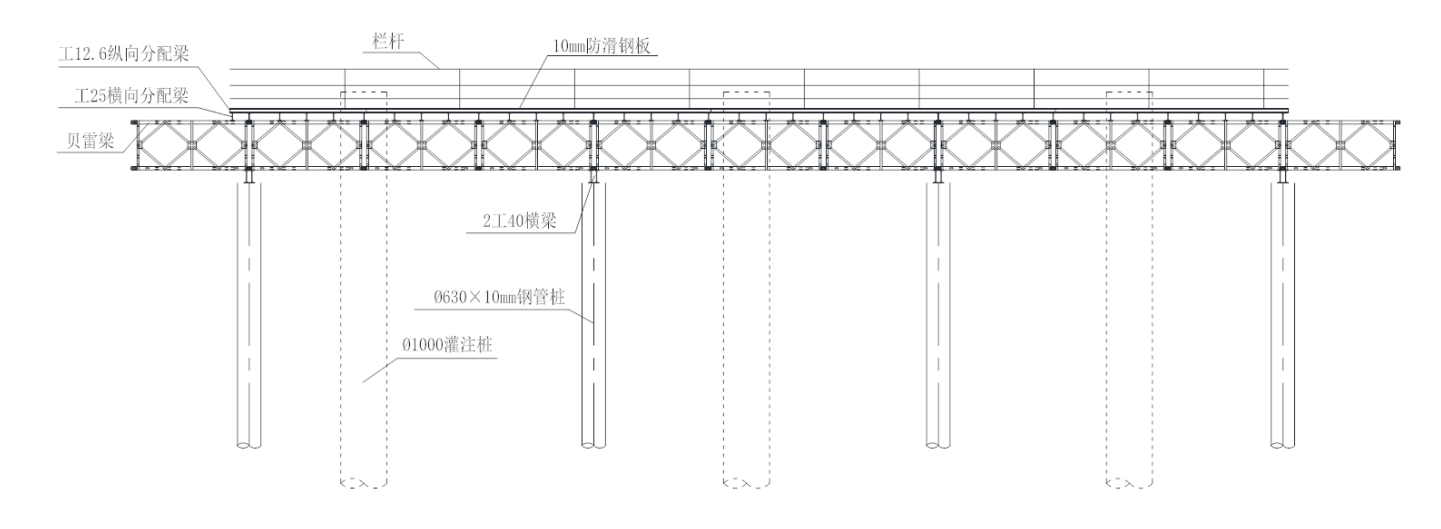


图1纵断面示意图

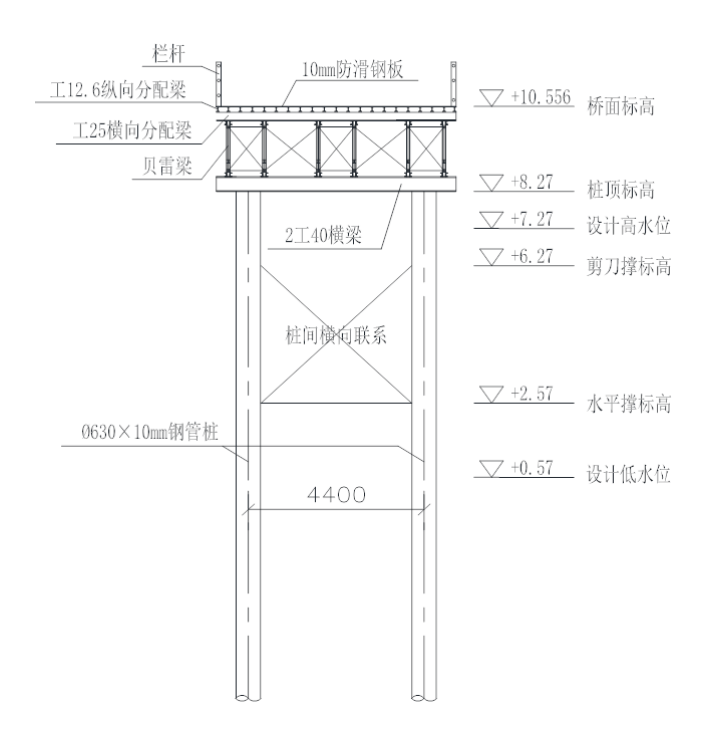


图 2 横断面示意图

1.3 材料参数

本工程钢便桥除贝雷片纵梁采用 16Mn 钢材外, 其余均采用 Q235B。

2 上部结构有限元分析

2.1 建模

取钢便桥中间 3×12m 建模,模型如图 3 所示。

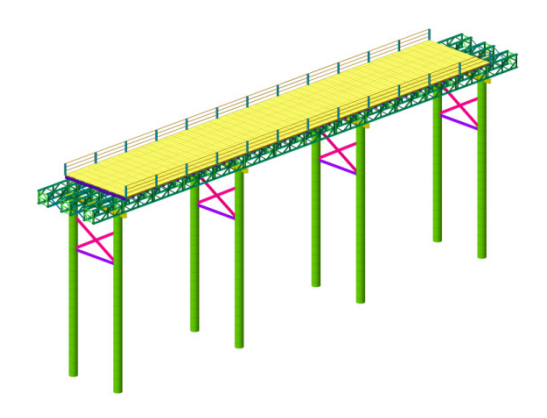


图 3 钢便桥分析模型

2.2 边界条件

- (1)钢管桩在嵌固点处固接(采用假想嵌固点);
- (2)钢管桩与横梁弹性连接;
- (3) 横梁与贝雷梁弹性连接;
- (4) 贝雷梁与横向分配梁弹性连接;
- (5) 横向分配梁与纵向分配梁弹性连接;
- (6)纵向分配梁与面板弹性连接;
- (7)两相邻贝雷梁之间共节点,同时释放梁端约束。

2.3 荷载

- (1) 结构自重荷载: 由软件自动计入。
- (2) 12m³ 混凝土搅拌车满载 45t, 轴重分布如图 4 所示。

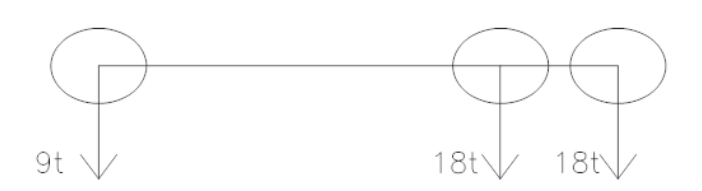


图 4 混凝土搅拌车轴重分布示意图

- (3)70t 履带品, 自重 61t, 吊重 10t, 履带尺寸 为 5.15m × 0.76m、履带中心间距 4.0m。
- (3)水流力、风荷载根据《港口工程荷载规范》(JTS 144-1-2010) 计算。
- (4)临时材料堆放、人群荷载、管线荷载: 5kN/ m^2

表 1 荷载系数

分项系数	正常使用极限状态	承载能力极限状态
可变荷载	1	1.5
永久荷载	1	1.3

结构重要性系数:取1.0

调整系数:取1.0 冲击系数: 取 1.1

2.4 工况

工况一:履带吊作业;

工况二: 混凝土搅拌车通行:

工况三:车辆停止通行,抵抗台风。

2.5 分析结果

经验算,横梁、横向分配梁、纵向分配梁、面板 在最不利工况下组合应力均小于 Q235B 钢材强度设计 值 215Mpa, 其中, 最大值出现在纵向分配梁, 值为 132.9Mpa。贝雷片纵梁最大组合应力为 253.7Mpa, 小 于 16Mn 钢材强度设计值 310Mpa, 贝雷纵梁最大竖向 变形为 12.6mm, 小于 L/400=30mm。

钢管桩基础最大支反力为 798.8kN(详见图 5), 钢管桩最不利工况下的最大弯矩为 87.51kN·m(详见 图 6),钢管桩稳定性、人土深度计算中采用此数据进 行手算。

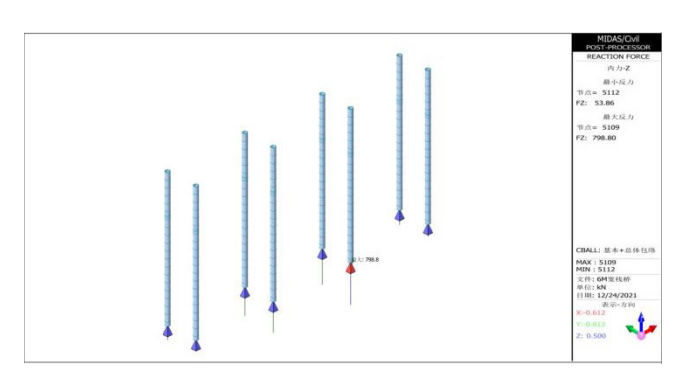


图 5 钢管桩最大支反力

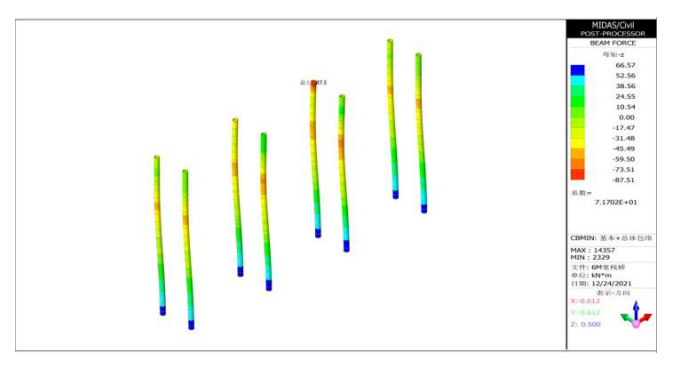


图 6 钢管桩最大弯矩

3 钢管桩基础手算

3.1 钢管桩稳定性分析

钢管稳定性分析考虑车辆正常行驶荷载、车辆制动 荷载、安装误差、水流力及风荷载。

3.1.1 桩基嵌固点

根据《码头结构设计规范》(JTS 167-2018) 钢管桩的相对刚度系数: $T = \sqrt[5]{\frac{E_p I_p}{mb_0}}$, 其中 $1b_0 = k_f (1.5d + 0.5) = 1.3m$, 表层土为淤泥, $m = 3000 kN/m^4$, $T = \sqrt[5]{\frac{EeJ_p}{mb_0}} = 2.5m$ 受 弯 嵌 固 点 距 离 泥 面 的 深 度 为 t = 2T = 5m。受水平力或力矩的桩,人土深度宜满足弹性 长桩的条件,即入土深度不小于 4T=10m。

3.1.2 钢管桩轴心受压稳定系数计算

根据《码头结构设计规范》(JTS 167-2018)桩 身压屈计算长度 $l_c = 0.7 \times (l_0 + 4.0T) = 13.16$ m。长细比 $\lambda = \frac{l_c}{l_c} = 60$, $\lambda \sqrt{\frac{f_y}{235}} = 31.3_{\circ}$

根据《水运工程钢结构设计规范》(JTS 152-2012) 按b类截面, 查表得φ = 0.931。

3.1.3 钢管桩偏心弯矩计算

按《码头结构施工规范》(JTS 215-2018)的规定, 钢管桩的垂直度偏差不宜超过1%,偏心距取计算长度 的 1%。偏心距 $e = 13.16 \times 1\% = 0.1316m$,根据上部结 构有限元分析结果,钢管桩轴力为 798.8kN,偏心弯矩 $M_{\text{fline}} = F \times e = 798.8 \times 0.1316 = 105.12 \text{kN·m}$

3.1.4 最不利工况钢管桩弯矩

根据上部结构有限元分析结果,钢管桩最不利工况 下的最大弯矩为 87.51kN·m。

3.1.5 钢管稳定性计算

根据《水运钢结构设计规范》(JTS 152-2017), 压弯钢管的整体稳定按下列公式进行计算:

钢管压弯稳定相当折算应力 = $\frac{N}{\varphi_x A} + \frac{\beta_{mx} M_x}{\gamma_x W_{1x} (1 - 0.8 \frac{N}{N_x})} \le f$

$N'_{Ex} = \frac{\pi^2 EA}{1.1 \lambda_x^2}$

将钢管桩弯矩、轴力代入上述公式,经计算,钢管桩压弯稳定相当折算应力为110MPa ≤ 215Mpa,满足承载力要求,稳定性满足要求。

3.2 钢管桩入土深度计算

3.2.1 工程地质情况

自上而下,场地岩土层主要有淤泥①厚 22.52m、淤泥质土②厚 10.70m、粉质粘土③厚 7.10m、砂土状强风化凝灰熔岩④厚 12.90m。

3.2.2 桩基设计参数

表 2 桩基设计参数

岩土层名称	桩侧极限摩阻力标准值	桩端极限阻力标准值
淤泥①	13	-
淤泥质土②	15	-
粉质粘土③	70	2500
砂土状强风化凝灰熔	100	7200

3.2.3 单桩承载力验算

钢管桩按桩尖进入粉质粘土③层 0.5m 考虑,总人 土深度 33.72m。

 $Q_d = \frac{1}{\gamma_R} (U \sum q_{f_i} l_i + \eta q_R A) = 1163.78 kN \ge 单 桩 最 大 轴 力 798.8 kN,故单桩承载力满足要求。$

综上所述,整体结构承载力、刚度、稳定性满足要求。

4 结语

该钢便桥采用手算与 Midas Civil 软件分析相结合的 方法进行验算,在三种不同工况下承载力、刚度和稳定 性满足要求。实践证明,该高桩码头施工钢便桥设计是 合理可行、安全可靠的。Midas Civil 软件建模的便捷性, 为结构优化节省了大量时间,其计算结果的精确度也确 保了后续桩基手算的可靠性。常规手算与 Midas Civil 软 件结合在类似施工临时结构验算方面具有参考价值。

参考文献:

[1] 郑小荣. 水中钢栈桥设计与施工工艺 [J]. 中国水运 (下半月),2019,19(05):195-196.

[2] 陈舜杰,关键,林壮宏.贝雷片钢便桥结构稳定性有限元分析[J].珠江水运,2014(12):23-25.

[3] 李程远, 肖长华, 杨威, 等. 彬江袁河特大桥临时钢 栈桥施工技术 [1]. 施工技术, 2014(12):75-78.

[4] 周水兴, 何兆益邹益松, 等. 路桥施工计算手册 [M]. 北京:人民交通出版社,2001.

[5] 北京迈达斯技术有限公司.Midas 工程应用指南[M]. 北京:中国建筑.工业出版社,2012.

[6] 般雅俊, 范钦珊. 材料力学 [M]. 北京: 高等教育出版社, 2019

[7] 黄绍金. 装配式公路钢桥多用途手册 [M]. 北京: 人民交通出版社, 2001.

[8] 中交第一航务工程勘察设计院有限公司. 码头结构设计规范: JTS 167—2018[S]: 北京: 人民交通出版社股份有限公司, 2018.

[9] 中交第一航务工程勘察设计院有限公司.港口工程 荷载规范: JTS 144—1—2010[S]: 北京: 人民交通出版社, 2010.

[10] 中交第一航务工程勘察设计院有限公司. 水运工程钢结构设计规范: JTS 152—2012[S]: 北京: 人民交通出版社, 2012.

